

Fig. S6

F2a: Autoradiogram

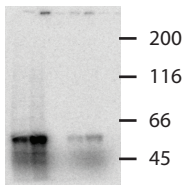


Fig. 2b: Autoradiogram

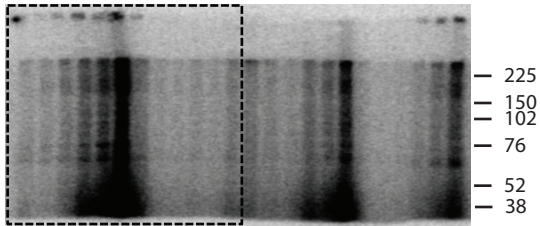


Fig. 3a: Autoradiogram

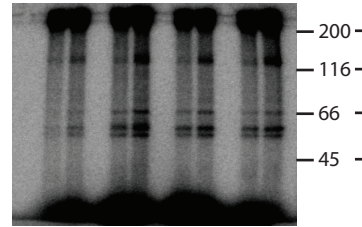


Fig. 3a: GFP Fig. 3a: IRE1 α

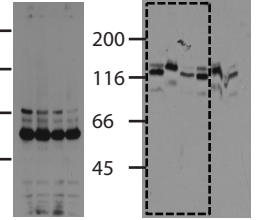


Fig. 3b: GFP

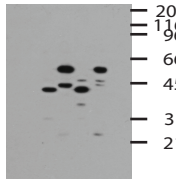


Fig. 3b: GFP

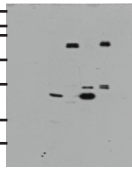


Fig. 3b: GFP

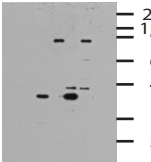


Fig. 3b: GFP

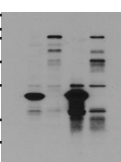


Fig. 3c: Autoradiogram

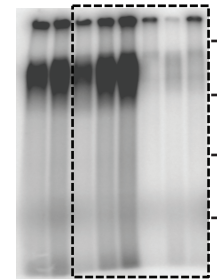


Fig. 3c: GFP

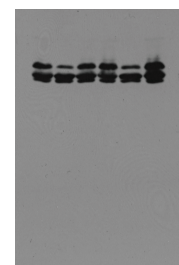


Fig. 3c: P-16



Fig. 3b: PERK

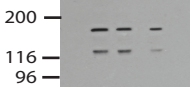


Fig. 3b: P-16

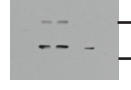


Fig. 3b: P-16



Fig. 3b: P-16

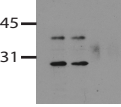


Fig. 3b: IRE1 α

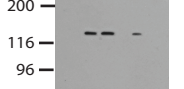


Fig. 3d: GFP

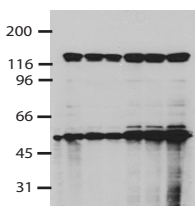


Fig. 3d: P-16

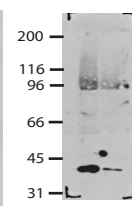


Fig. 3d: Autoradiogram

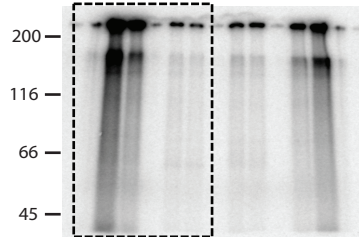


Fig. 3e: Autoradiogram

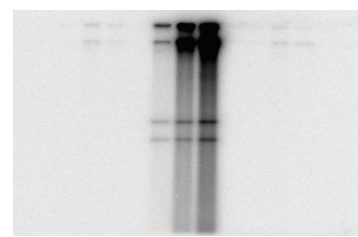


Fig. 3e: GFP

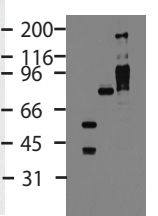


Fig. 4c: IRE1 α P

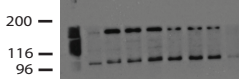


Fig. 4c: PERK^P

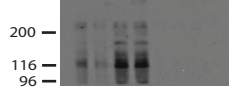


Fig. 4a: PERK

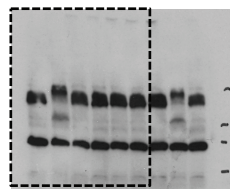


Fig. 4a: PERK^P

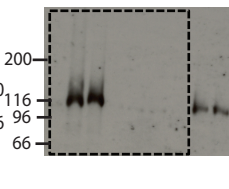


Fig. 4a: eIF2 α

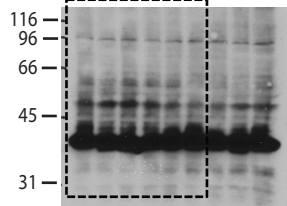


Fig. 4a: eIF2 α ^P

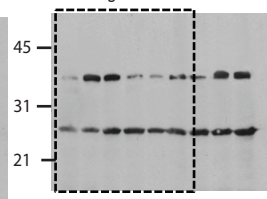


Fig. 4c: IRE1 α

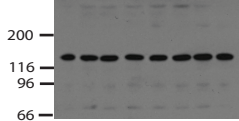


Fig. 4c: PERK

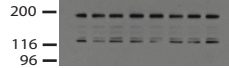


Fig. 4c: eIF2 α ^P

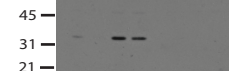


Fig. 4c: eIF2 α

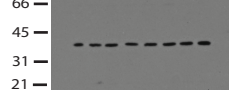


Fig. 4c: ATF4

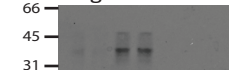


Fig. 4c: BiP

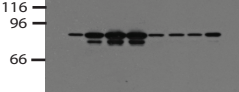


Fig. 4c: ATF6

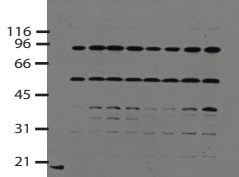


Fig. 4c: Tubulin

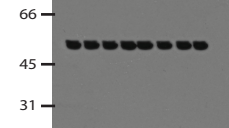


Fig. 4b: XBP-1 Splicing

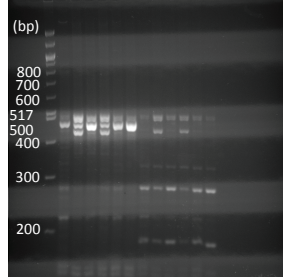


Fig. 4f: 32P-UTP

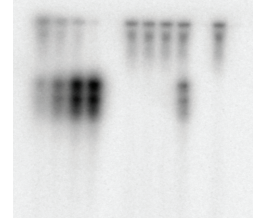


Fig. 5c: XBP-1 Splicing

